

ANGOLI DI EULERO - corpo rigido con pto fisso (possono essere usati anche rispetto c.m.)

Consideriamo una terna fissa $\bar{e}_x, \bar{e}_y, \bar{e}_z$

La config. del corpo rigido è data da come si dispone una terna solidale $\bar{e}_1, \bar{e}_2, \bar{e}_3$ rispetto alla terna fissa \Rightarrow qta è data da una ROTAZIONE $\in SO(3)$

\Rightarrow sp. delle config. di un corpo rigido con pto fisso è $Q = SO(3)$

(se non c'è pto fisso $Q = \mathbb{R}^3 \times SO(3)$)
 \uparrow posizione del c.m.

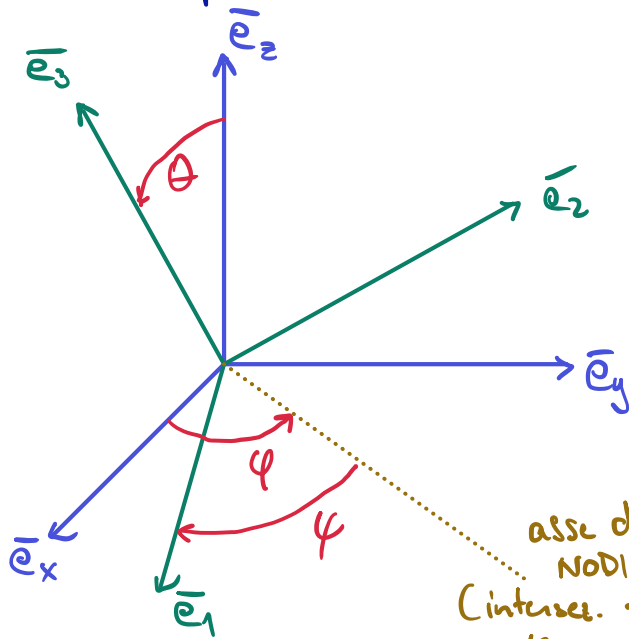
Vediamo come parametrizzare Q .

Si usano gli ANGOLI d'EULERO

Θ : angolo tra \bar{e}_3 e \bar{e}_2 (rotazione)

Φ : angolo tra \bar{n} e \bar{e}_x (precessione)

Ψ : angolo tra \bar{n} e \bar{e}_1 (rotazione propria)



asse dei NODI
 (intersez. tra piani xz e x_1y_1)
 $= \langle \bar{e}_3, \bar{e}_2 \rangle^\perp$

$$\bar{n} = \cos \Phi \bar{e}_x + \sin \Phi \bar{e}_y$$

e_x, e_y, e_z : terna FISSA
 e_1, e_2, e_3 : terna SOLIDALE al corpo rigido

Θ, Φ, Ψ determinano una rotaz. in $SO(3)$ (che manda $e_{xyz} \rightarrow e_{123}$)
 Ogni angolo determina una rotazione indep.



Si parte con terra souneptash

- 1) si tenga $\bar{e}_3 = \bar{e}_z$ e si ruoti di angolo φ portandosi \bar{e}_1 a coincidere con l'asse dei nodi \bar{n} . (R_φ)
- 2) Si tenga fisso \bar{e}_1 e si ruoti di angolo θ . (R_θ)
- 3) Si tenga fisso \bar{e}_3 e si ruoti di angolo ψ . (R_ψ)

Individuiamo s.d.r. intermed.

$$\bar{e}_x, \bar{e}_y, \bar{e}_z \xrightarrow{\varphi} \bar{e}'_x, \bar{e}'_y, \bar{e}'_z \xrightarrow{\theta} \bar{e}''_x, \bar{e}''_y, \bar{e}''_z \xrightarrow{\psi} \bar{e}_1, \bar{e}_2, \bar{e}_3$$

Prendiamo vettore colonna $\bar{F} = \begin{pmatrix} x \\ y \\ z \end{pmatrix}$ (x, y, z componenti in base $\bar{e}_x \bar{e}_y \bar{e}_z$)

Componenti in base $\bar{e}'_x \bar{e}'_y \bar{e}'_z$ sono date da

$$\begin{pmatrix} x' \\ y' \\ z' \end{pmatrix} = R_\varphi \begin{pmatrix} x \\ y \\ z \end{pmatrix} \quad \text{con} \quad R_\varphi = \begin{pmatrix} \cos\varphi & \sin\varphi & 0 \\ -\sin\varphi & \cos\varphi & 0 \\ 0 & 0 & 1 \end{pmatrix}$$

Ora passiamo a s.d.r. $\bar{e}''_x, \bar{e}''_y, \bar{e}''_z$

$$\begin{pmatrix} x'' \\ y'' \\ z'' \end{pmatrix} = R_\theta \begin{pmatrix} x' \\ y' \\ z' \end{pmatrix} \quad \text{con} \quad R_\theta = \begin{pmatrix} 1 & 0 & 0 \\ 0 & \cos\theta & \sin\theta \\ 0 & -\sin\theta & \cos\theta \end{pmatrix}$$

Infine andiamo a $\bar{e}_1, \bar{e}_2, \bar{e}_3$

$$\begin{pmatrix} x_1 \\ x_2 \\ x_3 \end{pmatrix} = R_\psi \begin{pmatrix} x'' \\ y'' \\ z'' \end{pmatrix} \quad \text{con} \quad R_\psi = \begin{pmatrix} \cos\psi & \sin\psi & 0 \\ -\sin\psi & \cos\psi & 0 \\ 0 & 0 & 1 \end{pmatrix}$$

$$R_\psi R_\theta R_\varphi = R_\psi \begin{pmatrix} \cos\varphi & \sin\varphi & 0 \\ -\sin\varphi \cos\theta & \cos\varphi \cos\theta & \sin\theta \\ \sin\varphi \sin\theta & -\cos\varphi \sin\theta & \cos\theta \end{pmatrix} = \leftarrow \equiv R_{\psi\theta\varphi}$$

$$\begin{pmatrix} \cos\varphi \cos\psi - \sin\varphi \cos\theta \sin\psi & \sin\varphi \cos\psi + \cos\varphi \cos\theta \sin\psi & \sin\theta \sin\psi \\ -\cos\varphi \sin\psi - \sin\varphi \cos\theta \cos\psi & -\sin\varphi \sin\psi + \cos\varphi \cos\theta \cos\psi & \sin\theta \cos\psi \\ \sin\varphi \sin\theta & -\cos\varphi \sin\theta & \cos\theta \end{pmatrix}$$

La trasf. inversa è data dalla trasposta, essendo pte
matrice una matrice di $SO(3)$.

Siamo ora in grado di calcolare le componenti di $\bar{e}_1, \bar{e}_2, \bar{e}_3$
nella base $\bar{e}_x, \bar{e}_y, \bar{e}_z$:

prendiamo come es. \bar{e}_1 ; le sue componenti nella base e_1, e_2, e_3
sono $\begin{pmatrix} 1 \\ 0 \\ 0 \end{pmatrix}$; in ottenere le componenti nella base e_x, e_y, e_z ,
dobbiamo applicare $R_{\psi\theta\varphi}^{-1} \begin{pmatrix} 1 \\ 0 \\ 0 \end{pmatrix} = R_{\psi\theta\varphi}^T \begin{pmatrix} 1 \\ 0 \\ 0 \end{pmatrix}$ ottenendo la prima
riga della matrice $R_{\psi\theta\varphi}$. Lo stesso si può fare per \bar{e}_i $i=1,2,3$.

A qto pto possiamo calcolare $\dot{\bar{e}}_i$ facendo derivate temporali
di tali componenti.

Poi $\bar{\omega} = \frac{1}{2} \sum_i \bar{e}_i \times \dot{\bar{e}}_i \rightsquigarrow \bar{\omega}$ in s.d.r. e_x, e_y, e_z .

Per avere $\bar{\omega}$ in s.d.r. e_1, e_2, e_3 basta che applichi $R_{\psi\theta\varphi}$

(Canto lungo; vediamo sotto uno short-cut)

$$\bar{\omega} = (\dot{\psi} \sin\theta \sin\varphi + \dot{\theta} \cos\varphi) \bar{e}_1 + (\dot{\psi} \sin\theta \cos\varphi - \dot{\theta} \sin\varphi) \bar{e}_2 + (\dot{\psi} \cos\theta + \dot{\varphi}) \bar{e}_3$$

Osservazione.

Riprendiamo ep. $\dot{\bar{u}} = \bar{\omega} \times \bar{u}$:

$$\dot{u}_i = \sum_{j,k=1}^3 \epsilon_{ijk} \omega_j u_k = \sum_k \left(\sum_j \epsilon_{ijk} \omega_j \right) u_k \equiv \Omega_{ik} u_k$$

con $\Omega = \begin{pmatrix} 0 & -\omega_3 & \omega_2 \\ \omega_3 & 0 & -\omega_1 \\ -\omega_2 & \omega_1 & 0 \end{pmatrix}$ ← determinata da 3 parametri

→ possiamo quindi scrivere $\dot{\bar{u}} = \Omega \bar{u}$ (*)

dove Ω è una matrice 3×3 ANTISIMMETRICA

La (*) ci dice che in un tempo infinitesimo δt , $\bar{u}(t)$ varia come
 $\bar{u} \mapsto \bar{u} + \delta \bar{u}$ con $\delta \bar{u} = \Omega \bar{u} \delta t$.

Questa variazione è la stessa che si ottiene ruotando
il vettore \bar{u} di un angolo infinitesimo $|\bar{\omega}| \delta t$, attorno all'asse $\bar{\omega}$.

Vediamone però con un esempio: $\bar{\omega} \parallel \bar{e}_3 \rightarrow \Omega = \begin{pmatrix} 0 & -\omega & 0 \\ \omega & 0 & 0 \\ 0 & 0 & 0 \end{pmatrix}$

Una rotaz. infinitesima di angolo $|\bar{\omega}| \delta t$ attorno a $\bar{\omega}$:

$$\begin{pmatrix} \cos |\bar{\omega}| \delta t & -\sin |\bar{\omega}| \delta t & \\ \sin |\bar{\omega}| \delta t & \cos |\bar{\omega}| \delta t & \\ & & 1 \end{pmatrix} \underset{|\bar{\omega}| \delta t \ll 1}{\sim} \begin{pmatrix} 1 & -\omega \delta t & \\ \omega \delta t & 1 & \\ & & 1 \end{pmatrix} \quad \text{cioè} \quad \mathbb{1} + \Omega \delta t$$

Se componiamo due rotazioni: $R_1 = \mathbb{1} + \Omega_1$ $R_2 = \mathbb{1} + \Omega_2$

$$R_1 R_2 = \mathbb{1} + \underbrace{(\Omega_1 + \Omega_2)}$$

matrice relativa a $\bar{\omega} = \bar{\omega}_1 + \bar{\omega}_2$

⇒ scomponiamo $\bar{\omega} = \bar{\omega}_A + \bar{\omega}_B$; allora $\Omega = \Omega_A + \Omega_B$
cioè vuol dire scomporre rotaz. infinitesime attorno a $\bar{\omega}$
di angolo $|\bar{\omega}| \delta t$ in una rotaz. infinitesima attorno a $\bar{\omega}_A$
di angolo $|\bar{\omega}_A| \delta t$ e una attorno a $\bar{\omega}_B$ di angolo $|\bar{\omega}_B| \delta t$

Tornando alla frizione.

Un' $\bar{\omega}$ generica può essere scomposta come

$$\bar{\omega} = \omega_\varphi \bar{e}_z + \omega_\theta \bar{n} + \omega_\psi \bar{e}_3$$

Cioè variazione di ferme solida alla frizione si scompone
in una rotaz. infinitesima $\omega_\varphi \delta t$ attorno a \bar{e}_z ,

di $\omega \delta t$ attorno a \bar{n} e di $\omega \delta t$ attorno a \bar{e}_3 .
 (Qte rotaz. non commutano tra loro, ma a livelli infinitesimi è irrilevante).

Viste le coordinate scelte, gli angoli saranno rispettivamente $\dot{\varphi} \delta t$, $\dot{\theta} \delta t$ e $\dot{\psi} \delta t \Rightarrow$

$$\bar{\omega} = \dot{\varphi} \bar{e}_2 + \dot{\theta} \bar{n} + \dot{\psi} \bar{e}_3$$

Per scrivere le componenti del vett. $\bar{\omega}$ nel s.d.r. $e_1 e_2 e_3$,
 ci serve sapere le comp. di \bar{e}_2 , \bar{n} e \bar{e}_3 in tale base.

\rightarrow dobbiamo applicare $R_{\varphi\theta\psi}$ alle loro comp. nel s.d.r. $e_1 e_2 e_3$

$$\text{dove } R_{\varphi\theta\psi} = \begin{pmatrix} \cos\varphi \cos\psi - \sin\varphi \cos\theta \sin\psi & \sin\varphi \cos\psi + \cos\varphi \cos\theta \sin\psi & \sin\theta \sin\psi \\ -\cos\varphi \sin\psi - \sin\varphi \cos\theta \cos\psi & -\sin\varphi \sin\psi + \cos\varphi \cos\theta \cos\psi & \sin\theta \cos\psi \\ \sin\varphi \sin\theta & -\cos\varphi \sin\theta & \cos\theta \end{pmatrix}$$

Nella base $e_1 e_2 e_3$

$$\bar{e}_2 = R_{\varphi\theta\psi} \begin{pmatrix} 0 \\ 0 \\ 1 \end{pmatrix} = \begin{pmatrix} \sin\theta \sin\psi \\ \sin\theta \cos\psi \\ \cos\theta \end{pmatrix} \quad \bar{e}_3 = \begin{pmatrix} 0 \\ 0 \\ 1 \end{pmatrix}$$

$$\bar{n} = R_{\varphi\theta\psi} \begin{pmatrix} \cos\varphi \\ \sin\varphi \\ 0 \end{pmatrix} = \begin{pmatrix} \cos^2\varphi \cos\psi - \cancel{\cos\varphi \sin\varphi \cos\theta \sin\psi} + \sin^2\varphi \cos\psi + \cancel{\cos\varphi \sin\varphi \cos\theta \sin\psi} \\ -\cos^2\varphi \sin\psi - \cancel{\cos\varphi \sin\varphi \cos\theta \cos\psi} - \sin^2\varphi \sin\psi + \cancel{\cos\varphi \sin\varphi \cos\theta \cos\psi} \\ \cancel{\cos\varphi \sin\varphi \sin\theta} - \cancel{\cos\varphi \sin\varphi \sin\theta} \end{pmatrix}$$

$$= \begin{pmatrix} \cos\psi \\ -\sin\psi \\ 0 \end{pmatrix}$$

$$\begin{aligned} \bar{\omega} = \dot{\varphi} \bar{e}_2 + \dot{\theta} \bar{n} + \dot{\psi} \bar{e}_3 &= (\dot{\varphi} \sin\theta \sin\psi + \dot{\theta} \cos\psi) \bar{e}_1 + \\ &+ (\dot{\varphi} \sin\theta \cos\psi - \dot{\theta} \sin\psi) \bar{e}_2 \\ &+ (\dot{\varphi} \cos\theta + \dot{\psi}) \bar{e}_3 \end{aligned}$$

Ora possiamo calcolare l' **ENERGIA CINETICA** rotazionale del corpo rigido (attorno pto fisso, o c.m.)

$$T = \frac{1}{2} \bar{\omega} \cdot \mathcal{I} \bar{\omega}$$

Si come T è uno scalare, posso calcolarlo in una pta. int. di rif. ortonormale come

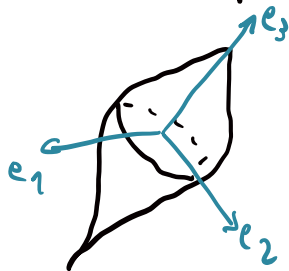
$$T = \frac{1}{2} \sum_{ij} \mathcal{I}_{ij} \omega_i \omega_j$$

Di solito conviene scegliere s.d.b. solidale $e_1 e_2 e_3$ lungo gli assi principali d'inerzia. In qto caso, in pto s.d.b.

$$T = \frac{1}{2} \sum_i I_i \omega_i^2 \quad \text{dove} \quad \bar{\omega} = \omega_1 \bar{e}_1 + \omega_2 \bar{e}_2 + \omega_3 \bar{e}_3$$

TROTTOLA

La trottola è un corpo rigido con una simmetria di rotaz. attorno a un asse



Con pta scelta d'assi solidali.

$$I_1 = I_2 < I_3$$

Ricordiamo: $\mathcal{I}_{ij} = -\sum_{I=1}^N m_I x_{iI} x_{jI} = \int_V x_i x_j dx_i dx_j dx_k$ i, j, k distinti

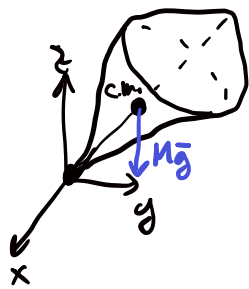
$\Rightarrow \mathcal{I}_{ij} = 0$ almeno uno di φ^i è $\int_{-r}^r x dx = 0$

$$T = \frac{1}{2} I_1 (\omega_1^2 + \omega_2^2) + \frac{1}{2} I_3 \omega_3^2$$

$$\bar{\omega} = (\dot{\varphi} \sin\theta \sin\psi + \dot{\theta} \cos\psi) \bar{e}_1 + (\dot{\varphi} \sin\theta \cos\psi - \dot{\theta} \sin\psi) \bar{e}_2 + (\dot{\varphi} \cos\theta + \dot{\psi}) \bar{e}_3$$

$$= \frac{1}{2} I_1 (\dot{\varphi}^2 \sin^2\theta + \dot{\theta}^2) + \frac{1}{2} I_3 (\dot{\psi} + \dot{\varphi} \cos\theta)^2$$

Mettiamo la sfera con pto fisso in campo gravitaz. cost.



$$V = -mgy_{c.m.} = mgl \cos \theta$$

$$\Rightarrow L = \frac{I_1}{2} (\dot{\varphi}^2 \sin^2 \theta + \dot{\theta}^2) + \frac{I_3}{2} (\dot{\psi} + \dot{\varphi} \cos \theta)^2 - mgl \cos \theta$$

- Ci sono due coordinate cicliche, φ e $\psi \rightarrow$ due cost. del moto

$$P_\varphi = \frac{\partial L}{\partial \dot{\varphi}} = I_3 (\dot{\psi} + \dot{\varphi} \cos \theta) = I_3 \omega_3 \quad \leftarrow M_3$$

$$P_\psi = \frac{\partial L}{\partial \dot{\psi}} = I_1 \dot{\varphi} \sin^2 \theta + I_3 \dot{\psi} \cos^2 \theta + I_3 \dot{\varphi} \cos \theta \quad \leftarrow M_2$$

$$= I_1 \dot{\varphi}^2 \sin^2 \theta + P_\varphi \cos \theta$$

- C'è anche en. totale

$$E = T + V = \frac{I_1}{2} (\dot{\varphi}^2 \sin^2 \theta + \dot{\theta}^2) + \frac{I_3}{2} (\dot{\psi} + \dot{\varphi} \cos \theta)^2 + mgl \cos \theta$$

Nel seguito
presumeremo $P_\varphi, P_\psi > 0$

[3 cost. del moto in
sist. a $m=3$.]

- Da coord. cicliche \rightarrow Lagrangiana ridotta

troviamo $\dot{\varphi}$ e $\dot{\psi}$ da sist. lineare

$$\begin{cases} P_\psi - \cos \theta P_\varphi = I_1 \dot{\varphi} \sin^2 \theta & \rightarrow \dot{\varphi} = \frac{P_\psi - \cos \theta P_\varphi}{I_1 \sin^2 \theta} \\ I_3 \dot{\psi} = P_\varphi - I_3 \dot{\varphi} \cos \theta & \rightarrow \dot{\psi} = \frac{P_\varphi}{I_3} - \frac{\cos \theta (P_\varphi - \cos \theta P_\psi)}{I_1 \sin^2 \theta} \end{cases}$$

$$\downarrow$$

$$\dot{\psi} + \dot{\varphi} \cos \theta = \frac{P_\varphi}{I_3}$$

$$L^* = L|_{\dot{\psi}, \dot{\varphi} = \dots} = \dot{\varphi} P_\varphi - \dot{\psi} P_\psi =$$

$$L = \frac{I_1}{2} (\dot{\psi}^2 \sec^2 \theta + \dot{\theta}^2) + \frac{I_3}{2} (\dot{\psi} + \dot{\theta} \cos \theta)^2 - mgl \cos \theta$$

$$= \frac{I_1}{2} \dot{\theta}^2 - mgl \cos \theta + \frac{1}{2} \frac{(P_4 - \cos \theta P_4)^2}{I_1 \sec^2 \theta} + \frac{1}{2} \frac{P_4^2}{I_3}$$

$$- \frac{P_4 (P_4 - \cos \theta P_4)}{I_1 \sec^2 \theta} - \frac{P_4^2}{I_3} + \frac{P_4 \cos \theta (P_4 - \cos \theta P_4)}{I_1 \sec^2 \theta}$$

$\swarrow \quad \searrow$
 $- \frac{(P_4 - \cos \theta P_4)^2}{I_1 \sec^2 \theta}$

$$= \frac{I_1}{2} \dot{\theta}^2 - mgl \cos \theta - \frac{(P_4 - \cos \theta P_4)^2}{2 I_1 \sec^2 \theta} \quad \cancel{- \frac{1}{2} \frac{P_4^2}{I_3}}$$

$x \equiv \cos \theta$ $\cos \theta$ è funzione monotona per $\theta \in [0, \pi[$

$$V_{eff}(\theta) = mgl g(\cos \theta) \quad \text{con } g(x) = x + \frac{(P_4 - x P_4)^2}{2 I_1 mgl (1-x^2)}$$

$-1 \leq x < 1$

Vogliamo disegnare il grafico di $V_{eff}(\theta)$ per capire qualitativamente come si comporta il sistema.

- Per $x \rightarrow \pm 1$ $g(x) \rightarrow +\infty$ (ed è continuo per $-1 < x < 1$)

$\Rightarrow g$ ha un MIN assoluto in $[-1, 1]$

\Rightarrow la retta dell' Energia cost. interseca il grafico di V_{eff} un numero PARI di volte

\rightarrow Dimostriamo che tali pti sono in numero ≤ 2 :

$$\begin{aligned} (*) E &= \frac{I_1}{2} \dot{\theta}^2 + mgl \cos \theta + \frac{(P_4 - \cos \theta P_4)^2}{2 I_1 \sec^2 \theta} \\ &= \frac{I_1}{2} \frac{\dot{x}^2}{1-x^2} + mgl x + \frac{(P_4 - x P_4)^2}{2 I_1 (1-x^2)} \end{aligned}$$

Ricordiamo che in E abbiamo trascurato il termine cost $\frac{1}{2} \frac{P_4^2}{2 I_3}$; la vera E sarebbe $E + \frac{P_4^2}{2 I_3}$

$$\rightarrow \frac{I_1 \dot{x}^2}{2} = \underbrace{\left(\overbrace{E - mglx}^{> 0 \text{ da (4)}} \right) (1-x^2) - \frac{1}{2I_1} (P_\psi - xP_\phi)^2}$$

Eq. CUBICA in $x \Rightarrow$ ci sono al max 3 valori di x per cui \dot{x} si annulla \leftarrow

pti in cui retta $y=E$ interseca curva di pot. eff.

\Rightarrow retta $y=E$ interseca pot. eff. in 2 pt.



MIN θ^* giace prima o dopo di $\pi/2$?

$$g(x) = x + \frac{(P_\psi - xP_\phi)^2}{2I_1 mgl (1-x^2)} \quad g'(x) = 1 + \frac{(P_\psi - xP_\phi)}{I_1 mgl (1-x^2)} \left[-P_\phi + x \frac{(P_\psi - xP_\phi)}{(1-x^2)} \right]$$

$\theta^* = \pi/2$ e' pto di equil quando $x^* = 0$ e' uno zero di $g'(x)$, cioè per

$$1 - \frac{P_\phi P_\psi}{I_1 mgl} = 0 \Rightarrow P_\phi P_\psi = I_1 mgl \quad \text{se } E \geq 0, \theta \leq \pi/2$$

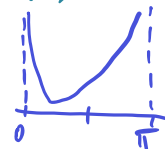
Invece pto di equil. $x = E \ll 1$ avviene per:

$$1 + \frac{(P_\psi - E P_\phi)}{I_1 mgl} \left[-P_\phi + E P_\phi \right] = 1 + \frac{1}{I_1 mgl} \left(-P_\phi P_\psi + E (P_\phi^2 + P_\psi^2) \right) = 0$$

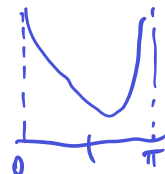
$$\Rightarrow I_1 mgl = P_\phi P_\psi - E (P_\phi^2 + P_\psi^2)$$

da qui si capisce perchè che danno $x^* \geq 0$.

$$x^* > 0 \quad (\theta^* < \pi/2) \quad \text{se } P_\phi P_\psi > I_1 mgl$$

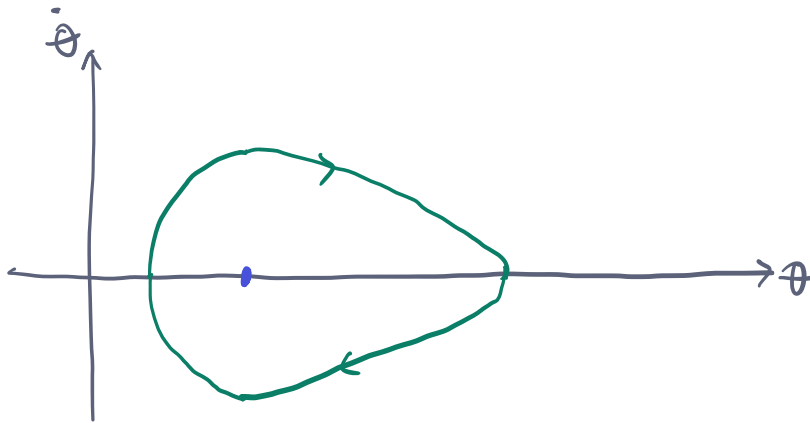
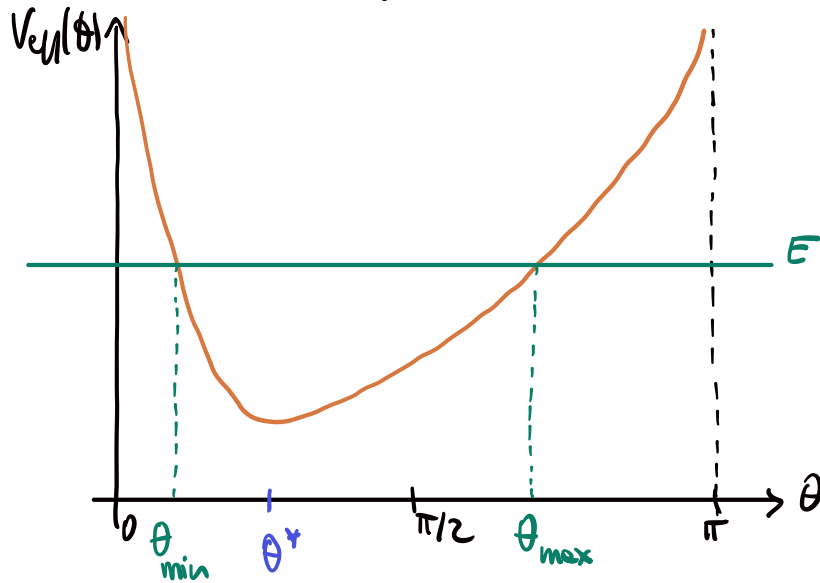


$$x^* < 0 \quad (\theta^* > \pi/2) \quad \text{se } P_\phi P_\psi < I_1 mgl$$



- Osservazione : $g(x) = x + \frac{(P_\psi - xP_\phi)^2}{2I_1 mgl (1-x^2)} \rightarrow$ se $x^* \geq 0$ ($\theta^* < \pi/2$), allora $g(x)$ e' def. positiva ; infatti : $g(x) \geq g(x^*) > 0$

Diciamo che $P_4 P_4 > E_{\text{meq}}$, allora il grafico del pot. eff. è



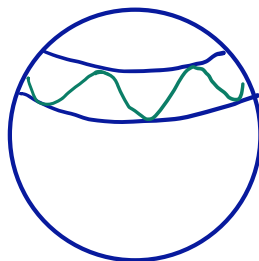
- c'è un solo pto di equil. per il problema ridotto corrispondente a $E_{\text{m. minima}} \Rightarrow$ moto con inclinaz. asse cost.
- A en. superiore il moto avviene tra due valori $\theta_{\text{min}}, \theta_{\text{max}}$
 \Rightarrow l'inclinazione dell'asse fa moto periodico tra θ_{min} e θ_{max} . \rightarrow MOTO DI **NUTAZIONE**

Vediamo ora il moto di PRESSIONE (φ). Abbiamo che

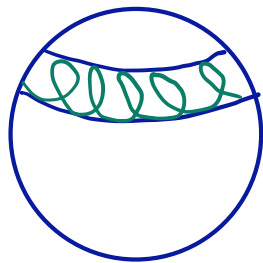
$$\dot{\varphi} = \frac{P_{\varphi} - P_{\varphi} \cos \theta}{I_1 \sin^2 \theta}$$

Se $\theta = \theta^*$ $\rightarrow \dot{\varphi} = \omega_{\varphi} \Rightarrow \varphi(t) = \omega_{\varphi} t + \varphi_0$
cost.

- se $|P_{\varphi}| > |P_{\varphi}| \cdot \max_{\theta} |\cos \theta|$, $\dot{\varphi}$ ha segno definito ($\forall t$)
 $\rightarrow \varphi$ avanza sempre



- altrimenti $\dot{\varphi}$ ha valori di θ per cui si annulla, cioè

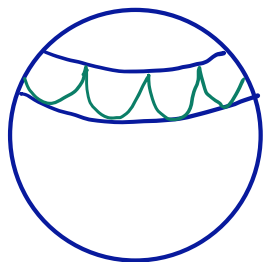


$$\cos \theta_0 = P_{\varphi} / P_{\varphi}$$

$\hookrightarrow \dot{\varphi}$ ha segno opposto per θ_{\min} e θ_{\max}

\rightarrow la media di $\dot{\varphi}$ non può annullarsi $\langle \dot{\varphi} \rangle \propto \int_{\theta_{\min}}^{\theta_{\max}} \frac{(P_{\varphi} - P_{\varphi} \cos \theta)}{I_1 \sin^2 \theta} dt$

- caso degenere è quello $\theta_0 = \theta_{\max}$ ($P_{\varphi} = P_{\varphi} \cos \theta_{\max}$)



Caso degenere è il più comune in pratica, quello si cerca di avere alto valore di $\dot{\varphi}$ e invece $\dot{\varphi}_0, \dot{\theta}_0 \ll 1$.

Velocità media $\langle \dot{\varphi} \rangle = \int_{t_{\min}}^{t_{\max}} \dot{\varphi} dt = \frac{\varphi(t_{\max}) - \varphi(t_{\min})}{t}$

\downarrow
si annulla se $\varphi(t_{\max}) = \varphi(t_{\min})$, cioè orbita chiusa 

$$\int_{t_{\min}}^{t_{\max}} \dot{\varphi} dt = \int_{\theta_{\min}}^{\theta_{\max}} \dot{\varphi}(\theta) \frac{d\theta}{\dot{\theta}(\theta)} = \int \frac{P_{\varphi} - P_{\varphi} \cos \theta}{I_1 \sin^2 \theta} \frac{\sqrt{2I_1}}{\sqrt{E - mgl \cos \theta - (P_{\varphi} - \cos \theta P_{\varphi})^2}} d\theta > 0 \text{ o } < 0$$

dip. da P_{φ}, P_{φ}

Alcove, consideriamo p_y e p_x fissate > 0 .

• $\dot{\varphi}(\theta) = \frac{p_y - \cos\theta p_x}{I_1 \sin^2\theta} = \frac{p_y - x p_x}{I_1(1-x^2)}$ si annulla in θ_0 i.e. $x_0 = p_y/p_x$

per $x > x_0$ ($\theta < \theta_0$) $\dot{\varphi}(\theta) < 0$

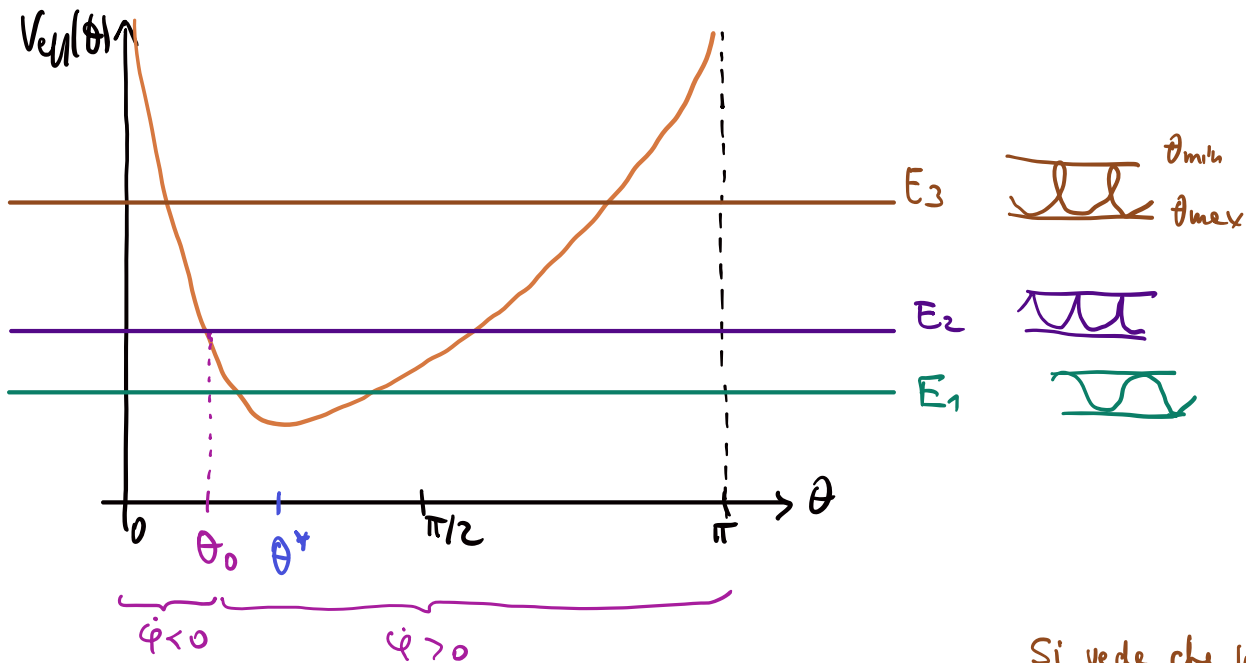
per $x < x_0$ ($\theta > \theta_0$) $\dot{\varphi}(\theta) > 0$

• cerchiamo di capire dove sta θ_0 rispetto a θ_x ; se sta a sinistra, allora $V_{eff}'(\theta_0) < 0$ ($g'(x_0) > 0$), se sta a destra, allora $V_{eff}'(\theta_0) > 0$ ($g'(x_0) < 0$).

• Valutiamo $g'(x) = 1 + \frac{(p_y - x p_x)}{I_1 m g(1-x^2)} \left[-p_x + x \frac{(p_y - x p_x)}{(1-x^2)} \right]$

in $x_0 = p_y/p_x$:

$g'(x_0) = 1 + 0 > 0 \Rightarrow \theta_0$ sta a sinistra



Si vede che per la maggior parte dei valori di θ fissati, $\dot{\varphi}$ è positivo \Rightarrow indica che la media temporale di $\dot{\varphi}$ è positiva

Posizione di θ^* .

Uno si può anche domandare quando è che $\theta = \pi/2$ è min di pot . ($p_q, p_\psi > 0$)

$$g'(x) = 1 + \frac{(p_\psi - x p_\psi)}{I_{\text{imp}}(1-x^2)} \left[-p_\psi + x \frac{(p_\psi - x p_\psi)}{(1-x^2)} \right]$$

$$g'(0) = 1 - \frac{p_q p_\psi}{I_{\text{imp}}} = 0 \text{ quando } p_q p_\psi = I_{\text{imp}}$$

Ora possiamo determinare quel $\theta^* > \pi/2$ o $\theta^* < \pi/2$:

basta determinarlo in θ^* vicino a $\pi/2$ cioè $x^* = \epsilon$ con $|\epsilon| \ll 1$

$$g'(\epsilon) \approx 1 + \frac{(p_\psi - \epsilon p_\psi)}{I_{\text{imp}}} (-p_\psi + \epsilon p_\psi) \approx 1 - \frac{p_q p_\psi}{I_{\text{imp}}} + \epsilon \frac{p_\psi^2 + p_\psi^2}{I_{\text{imp}}}$$

$$g'(\epsilon) = 0 \text{ in } \epsilon = \frac{p_q p_\psi - I_{\text{imp}}}{p_\psi^2 + p_\psi^2}$$

$$\theta^* < \pi/2 \text{ (} \epsilon > 0 \text{) in } p_q p_\psi > I_{\text{imp}}$$

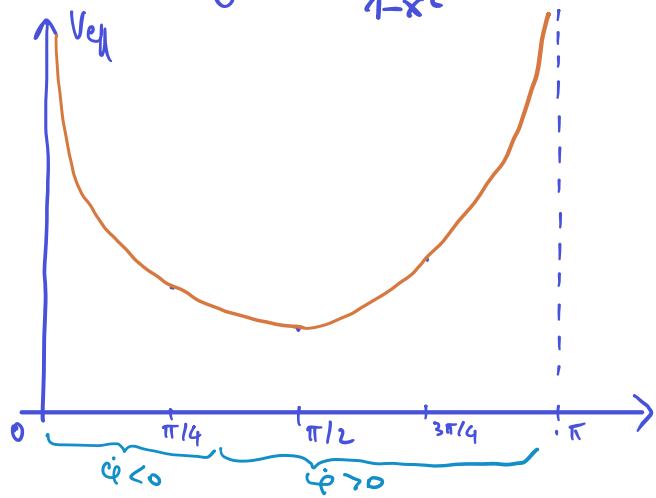
$$\theta^* > \pi/2 \text{ (} \epsilon < 0 \text{) in } p_q p_\psi < I_{\text{imp}}$$

Proviamo a metterci nelle situazioni. $p_q p_\psi = I_{\text{imp}}$

$$g(x) = x + \frac{(p_\psi - x p_\psi)^2}{2 p_q p_\psi (1-x^2)} = \frac{p_\psi^2 - 2x p_q p_\psi + x^2 p_\psi^2 + 2x p_q p_\psi - 2x^3 p_q p_\psi}{2 p_q p_\psi (1-x^2)}$$

$$= \tilde{g}(x) - \frac{x^3}{1-x^2}$$

$$\text{con } \tilde{g}(x) = \frac{p_\psi^2 + x^2 p_\psi^2}{2 p_q p_\psi (1-x^2)} \text{ funt. pari in } x \rightarrow -x$$



$$g(0) = \frac{p_\psi}{2 p_\psi}$$

$$g(1/2) = \tilde{g}(1/2) - 1/6 \quad (\theta = \pi/4)$$

$$g(-1/2) = \tilde{g}(-1/2) + 1/6 \quad (\theta = 3\pi/4)$$

Per avere $x_0 = 0$ e $\dot{x}^* = 0$, devo prendere lim

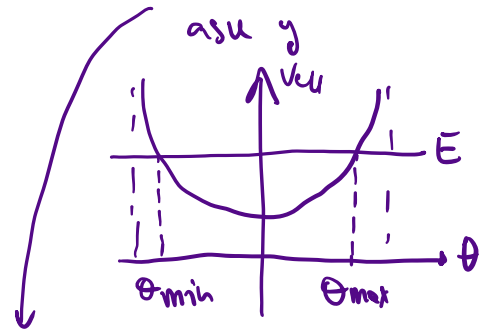
$$P_\psi \rightarrow 0 \quad P_\psi \rightarrow \infty \quad \text{con} \quad P_\psi P_\psi = \text{cost} (= I_1 mgl)$$

$$V_{eff}(\theta) = mgl g(\cos\theta) \quad \text{con} \quad g(\theta) \sim \frac{x^2 P_\psi^2}{2I_1 mgl (1-x^2)} \quad \leftarrow \text{adesso } V_{eff}(\theta) \text{ è simm. rispetto}$$

$$\dot{\psi} = \frac{P_\psi - \cos\theta P_\psi}{I_1 \sin^2\theta} \sim -\frac{\cos\theta P_\psi}{I_1 \sin^2\theta}$$

$$\dot{\psi} = \frac{P_\psi}{I_3} - \frac{\cos\theta (P_\psi - \cos\theta P_\psi)}{I_1 \sin^2\theta} \sim P_\psi \left(\frac{1}{I_3} - \frac{\cos^2\theta}{\sin^2\theta I_1} \right)$$

$$\psi + \psi \cos\theta = \frac{P_\psi}{I_3}$$



Ora $\theta(t)$ ha moto sim. in $0 < \theta < \pi/2$ e $\pi/2 < \theta < \pi$ e analogo.
 $\psi(t) \rightarrow$ orbita chiusa

- Vediamo ora il caso

$$P_\psi = 0$$

(per esempio, trottola ussese inizialmente in ps. orizzontale)



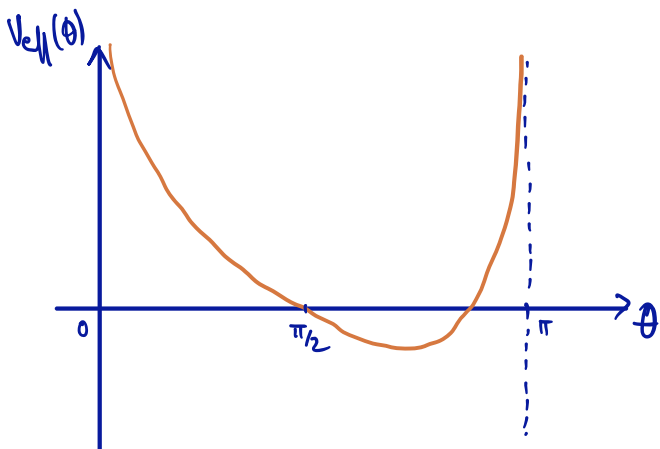
il potenziale diventa dato da:

$$g(x) = x + \frac{x^2 P_\psi^2}{2I_1 mgl (1-x^2)} = x \left(1 + \frac{x P_\psi^2}{2I_1 mgl (1-x^2)} \right)$$

zeri in

$$x = 0 \quad (\theta = \pi/2)$$

$$x < 0 \quad (\theta > \pi/2)$$



Se $P_\psi \gg I_1 mgl \Rightarrow$

\Rightarrow zero doppio in $\theta = \pi/2$
 cioè min pot.

Trottola precede stando nel piano $x y$.

TROTTOLA DORMIENTE e RISVEGLIO

Pratica: trottola, dopo essere stata lanciata, si stabilizza con asse di rotazione verticale e ruota mostrando piccolissime oscillazioni, la rotaz. è praticam. stazionaria (trottola dormiente). Ad un certo pto si risveglia incominciando moto di nutazione e precessione sempre più accentuato, finché la trottola cade.

Vediamo come potremmo prevederlo.

- Con un lancio ben fatto, $\dot{\psi}_0 \gg \dot{\phi}_0, \dot{\theta}_0$.

$$\Rightarrow P_\psi \approx P_\phi$$

Quando $P_\psi = P_\phi$, V_{eff} non esplosa più a $\theta = 0$.

$$V_{eff} = mgl \cos\theta + \frac{P_\psi^2 (1 - \cos\theta)^2}{2I_1 (1 - \cos\theta)(1 + \cos\theta)}$$

$$= mgl \cos\theta + \frac{P_\psi^2}{2I_1} \frac{1 - \cos\theta}{1 + \cos\theta}$$

$$V_{eff}'(\theta) = -mgl \sin\theta + \frac{P_\psi^2}{2I_1} \left(\frac{\sin\theta}{1 + \cos\theta} + \frac{(1 - \cos\theta) \sin\theta}{(1 + \cos\theta)^2} \right) =$$

$$= \sin\theta \left[-mgl + \frac{P_\psi^2}{I_1} \frac{1}{(1 + \cos\theta)^2} \right] \quad \cos\theta^* = \frac{P_\psi}{\sqrt{mgl I_1}} - 1$$

$$\Rightarrow \theta = 0 \text{ è pto di equl.} \quad V_{eff}''(0) = mgl$$

$$V_{eff}''(\theta) = \cos\theta \left(-mgl + \frac{P_\psi^2}{I_1} \frac{1}{(1 + \cos\theta)^2} \right) + \sin\theta (\dots) \quad P_\psi = I_3 \dot{\psi}_0 \cos\theta_0$$

$$V_{eff}''(0) = -mgl + \frac{P_\psi^2}{4I_1} \rightarrow \text{se } \dot{\psi}_0 \text{ è suff. grande, } V_{eff}''(0) > 0 \rightarrow \text{PTO STAB.}$$

• Se partiamo da θ vicino a $\theta=0$, θ oscilla attorno allo zero con frequenza $V''_{eff}(0) \rightsquigarrow$ frottole ha moto periodic. stazionario: le piccole oscillaz. vengono smorzate dall'attrito.

• Man mano che passa il temp, l'attrito riduce $\dot{\psi}$ e quindi $P_\psi = P_\psi$, finché $\dot{\psi}=0$ non è più stabile: ogni perturbazione allontanerà frottole dalla rotaz. stazionaria (ora instabile)

→ compare un moto di nutazione che diventa sempre più ampio mentre P_ψ diminuisce (la frottole si è risvegliata)

Trottole con spin (P_ψ) molto grande.

Ora lanciamo la frottole con condiz. iniziali a $t=0$:

$$\theta(0) = \theta_0 \quad \dot{\theta}(0) = \dot{\psi}(0) = 0 \quad \text{e} \quad \psi_0 \text{ molto grande}$$

θ_0 qui sta per θ al tempo $t=0$, può coincidere anche con angolo per cui $\dot{\psi}=0$.

Ricordiamo:

$$\frac{I_1 \dot{x}^2}{2} = (E - mglx)(1-x^2) + \frac{1}{2I_1} (P_\psi - xP_\psi)^2$$

e valutiamola a $t=0$

$$0 = (E - mglx_0)(1-x_0^2) + \frac{1}{2I_1} (P_\psi - x_0P_\psi)^2$$

$\rightsquigarrow x_0$ è una soluz. di qta equazione cubica

Ricordiamo inoltre:

$$E = \frac{I_1}{2} \dot{\theta}^2 + mgl \cos \theta + \frac{(P_\psi - \cos \theta P_\psi)^2}{2I_1 \sin^2 \theta}$$

$$\dot{\psi} = \frac{P_\psi - P_\psi \cos \theta}{I_1 \sin^2 \theta}$$

$$= \underbrace{\frac{I_1}{2} \frac{\dot{x}^2}{1-x^2}}_{=0 \text{ a } t=0} + \underbrace{mglx}_{=mgl \cos \theta_0 \text{ a } t=0} + \underbrace{\frac{(P_\psi - xP_\psi)^2}{2I_1(1-x^2)}}_{=0 \text{ a } t=0}$$

① ————— ② → termini sempre positivi

$$\rightsquigarrow E = mgl \cos \theta_0$$

l'eq. si conserva, quindi all'aumentare del tempo, prendo in
accanto i termini ① e ②, $mgl \cos \theta$ deve diminuire

$\Rightarrow \theta$ aumenta (cioè l'angolo scende)

$\Rightarrow \theta_0$ corrisponde a circonferenza superiore.

Inoltre:
$$\begin{cases} \cos \theta_0 = P_0 / P_4 & (\text{da } \dot{\varphi}_0 = 0 \text{ e } P_4, P_0 \text{ cost.}) \\ \cos \theta_0 = \frac{E}{mgl} & (\text{da } E = mgl \cos \theta_0) \end{cases}$$

Riscriviamo $0 = (E - mglx)(1-x^2) - \frac{1}{2I_1}(P_4 - xP_4)^2$ usando \uparrow

$$0 = mgl(x_0 - x)(1-x^2) - \frac{P_4^2}{2I_1}(x_0 - x)^2$$

Qta eq. ci da
i pti di inversione

$$= (x_0 - x) \left(mgl(1-x^2) - \frac{P_4^2}{2I_1}(x_0 - x) \right)$$

(0) \rightarrow

altre radici sono solut. di pta eq. 2° grado

$$mgl(x-x_0)(x^2 - \kappa x - 1 + \kappa x_0) = 0$$

$$\kappa = \frac{P_4^2}{2I_1 mgl}$$

$$x_{1,2} = \frac{1}{2} \left[\kappa \pm \sqrt{\kappa^2 + 4 - 4\kappa x_0} \right] =$$

$$x_1 = \frac{1}{\kappa} (1 - x_0^2)$$

$$= \frac{\kappa}{2} \left[1 \pm \sqrt{1 + \frac{4}{\kappa^2} - \frac{4x_0}{\kappa}} \right] \approx$$

\uparrow espandiamo fino al secondo ordine

$$\approx \frac{\kappa}{2} \left[1 \pm \left(1 + \frac{2}{\kappa^2} - \frac{2x_0}{\kappa} - \frac{16x_0^2}{8\kappa^2} \right) \right]$$

$$\sqrt{1+\epsilon} \sim 1 + \frac{\epsilon}{2} - \frac{\epsilon^2}{8} + \dots$$

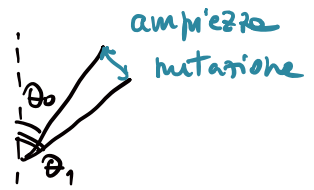
$$= \frac{\kappa}{2} \left[1 \pm \left(1 - \frac{2x_0}{\kappa} + \frac{2}{\kappa^2} (1-x_0^2) \right) \right] = \begin{cases} \kappa - x_0 + \dots \gg 1 \text{ (esclusa)} \\ x_0 - \frac{1-x_0^2}{\kappa} = x_0 - \frac{\sin^2 \theta_0}{\kappa} \text{ ok!} \end{cases}$$

(0) $\rightarrow mgl(x-x_0)(x-x_1)(x-\kappa+x_0)$

$$\equiv x_1$$

Le due soluzioni accettabili sono

$$x_0 = \cos\theta_0 \quad \text{e} \quad x_1 = \cos\theta_0 - \frac{\sin^2\theta_0}{\kappa}$$



↳ ampiezza della mutazione è

$$x_0 - x_1 = \frac{\sin^2\theta_0}{\kappa}$$

⇒ Tanto più la molla è rigida (κ grande), tanto minore è l'ampiezza della mutazione

→ ampiezza è piccola se molla è rigida e si ha $x \approx x_0$.

Nota: il pto di equil. del pot. eff. sarà tra θ_0 e θ_1

Ricaviamoci la freq. delle mutazioni.

Partiamo da $\frac{I_1 \dot{x}^2}{2} = (E - mglx)(1-x^2) - \frac{1}{2I_1}(P_4 - xP_4)^2$, che approssimato da (0): $(x_1 \approx x_0)$

$$\frac{I_1 \dot{x}^2}{2} = \underbrace{-\kappa mgl}_{P_4^2/2I_1} (x - x_0)^2$$

$$x(t) = \frac{x_0 + x_1}{2} + \frac{x_0 - x_1}{2} \cos \omega t$$

Deriviamo ambo i membri rispetto al tempo:

$$I_1 \dot{x} \ddot{x} = -\frac{P_4^2}{I_1} (x - x_0) \dot{x} \quad \rightsquigarrow \quad \ddot{x} = -\underbrace{\left(\frac{P_4}{I_1}\right)^2}_{=\omega^2 \gg 1} (x - x_0) \approx -\left(\frac{P_4}{I_1}\right)^2 \left(x - \frac{x_0 + x_1}{2}\right)$$

↑
centro di
intervallo di
oscillazione

Infine, consideriamo la precessione

$$\dot{\varphi} = \frac{P_4 - \cos\theta P_4}{I_1 \sin^2\theta} = \frac{P_4}{I_1} \frac{(x_0 - x)}{1-x^2} \approx \frac{P_4}{I_1} \frac{x_0 - x}{\sin^2\theta_0}$$

$$\frac{P_4}{P_4} = \cos\theta_0$$

$$\dot{\varphi} \approx \frac{P_4}{I_1 \sin^2\theta_0} \cdot \left(\frac{x_0 - x_1}{2}\right) (1 - \cos(\omega t))$$

↑ $\sim 1/P_4^2 \Rightarrow \dot{\varphi}$ media è piccola

$$* \quad x - \frac{x_0 + x_1}{2} = \frac{x_0 - x_1}{2} \cos(\omega t) \quad \text{da} \quad \frac{d^2}{dt^2} \left(x - \frac{x_0 + x_1}{2}\right) = -\omega^2 \left(x - \frac{x_0 + x_1}{2}\right)$$

$$\Rightarrow x_0 - x = \frac{x_0 - x_1}{2} (1 - \cos(\omega t))$$

Hamiltoniana della frizione

← Per fine corso

$$\frac{p_\theta^2}{2I_1} + \frac{p_\varphi^2}{2I_3} + \frac{(p_\varphi - \cos\theta p_\psi)^2}{2I_1 \sin^2\theta} + mgl \cos\theta$$

Si vede immediatamente che il sistema è integrabile:

H, p_φ, p_ψ sono 3 cost. del moto in involuzione.

$\{M_3, M_2\} = 0$ M_2 è comb. lin. di $M_{1,2,3}$ (quod sembrerebbe impossibile
con che commutano, ecc.)
coeff. che dipendono dalle coordinate libere